

مکان

فصلنامه جغرافیا و آمایش سرزمین

سال اول / شماره اول / پاییز ۱۳۹۰

پایش خشکسالی و تحلیل ویژگی آن در استان گیلان

جلال بهزادی*

دکتری اقلیم‌شناسی، عضو هیأت‌علمی دانشگاه آزاد اسلامی واحد لاهیجان

پذیرش مقاله: ۹۰/۲/۱۸؛ تایید نهایی: ۹۰/۵/۸

چکیده

خشکسالی پدیده‌ای تکرار شونده در اقلیم‌های متفاوت است و آثار آن صرفاً به مناطق خشک و نیمه خشک محدود نمی‌شود، بلکه ممکن است در مناطق با بارش بالا و یا در فصول مختلف سال رخ دهد. از جمله مهم‌ترین مراحل پایش خشکسالی تعیین سنجه‌هایی برای تحلیل شدت و تداوم و فراوانی خشکسالی است. بهمنظور پایش خشکسالی و تحلیل خصوصیات آن در استان گیلان از داده‌های مجموع بارندگی ماهانه ایستگاه‌های سینوپتیک منطقه طی دوره آماری ۱۹۷۶-۲۰۰۵ استفاده شد. در تحقیق حاضر با استفاده از سری‌های زمانی حاصل از شاخص بارش استاندارد شده تداوم، شدت و فراوانی خشکسالی با استفاده از دو شاخص توزیع استاندارد و دهکها که نتایج شبیه بهم دارند، استخراج گردید. نتایج این تحقیق نشان داد که دو روش مورد بررسی کاملاً با یکدیگر مطابقت دارند و خشکسالی در منطقه پرباران شمال کشور نه تنها امری نادر نیست بلکه تکراری و برگشت‌پذیر است. بررسی‌ها نشان دادند که در سال‌های ۱۹۹۱ و ۱۹۹۵ خشکسالی شدیدی استان را فراگرفته است.

واژه‌های کلیدی: خشکسالی، شاخص خشکسالی توزیع استاندارد، شاخص دهک‌ها، گیلان.

مقدمه

بارش یکی از فاکتورهای مهم اقلیمی است که نقش بسزایی در اقتصادکشاورزی، صنعتی و توریسم دارد، اگرچه آب بدست آمده از بارش بنا به توانمندی جوامع و شرایط زمان و فصول مختلف مصارف متفاوتی دارد، ولی اغلب اوقات مازاد آن که به مراتب درصد بیشتری را نسبت به مصرف بهینه در بر می‌گیرد، به صورت کنترل نشده موجب جاری شدن سیلابها و خسارت ناشی از آن می‌گردد. این

* نویسنده مسئول: drbehzaddijalal@yahoo.com

در حالی است که معضل خشکسالی و صدمات ناشی از آن همواره برای جوامع جانوری، گیاهی و انسانی مشکلات فراوانی به همراه آورده است. خشکسالی جزو بلایای طبیعی نامحسوس است که بر اثر کمبود بارش طی یک دوره زمانی، معمولاً یک فصل و یا بیشتر به وجود می‌آید. در این مقاله سعی شده با ارائه میزان بارش سی ساله و نوسانات آن، خشکسالی شدید از طریق دو شاخص خشکسالی، بیرون کشیده شده و نسبت آن به سال‌های دیگر (سال‌های میانگین بارش یا ترسالی) مشخص گردد. با داشتن چنین الگویی، از خشکسالی منطقه دید و در ک مناسب‌تری پدست می‌آید و پایه مباحثت بعدی خواهد بود.

خشکسالی هیدرولوژیکی پدیده‌ای است که با تاثیر دوره‌هایی از نقصان ریزش‌های جوی بر منابع تامین آب‌های زیر زمینی یا سطحی همراه می‌شود و این خشکسالی همواره با تأخیر بیشتری نسبت به خشکسالی اقلیمی روی می‌دهد. خشکسالی اقلیمی بر خشکسالی هیدرولوژی با تأخیر زمانی تأثیرگذار است، اما زمان بیشتری طول می‌کشد تا اثر کمبود بارش در اجزای هیدرولوژیکی نمایان شود. خشکسالی یک مشکل تکراری از حوادث اقلیمی می‌باشد که به شدت، تعداد بارندگی‌ها و تأخیر در شروع فصل بارش وابسته است. عواملی چون سرعت باد، درجه حرارت بالا و رطوبت نسبی پایین در تقویت آن موثرند. از آنجا که شروع، شدت، تداوم و پایان خشکسالی همگی به مقیاس زمان وابسته‌اند ارزیابی، خشکسالی، و آثار آن مستلزم تعیین این مصادیقه، است.

دانشمندان علم آب و هواشناسی به منظور ارزیابی و پایش خشکسالی شاخص‌های گوناگونی را در نقاط مختلف جهان ارایه داده‌اند. Hong Wu و همکارانش (۲۰۰۱) از فاکتوری به نام China-Z Index (CZI) که در سال ۱۹۹۵ توسط مرکز ملی هواشناسی چین پیشنهاد شده بود، استفاده کردند. این شاخص بسیار به شاخص Standardized Precipitation Index (SPI) نزدیک است و در عین حال از محاسبات ساده‌تری برخوردار است. V.U.Smakhtin و همکارش (۲۰۰۷) نرم افزار جدیدی را Deciles Index(DI) Effective Drought Index (EDI), SPI بکار برداشتند که آنالیز ۵ فاکتور میانگین و انحراف معیار را همراه با نقشه هر کدام بررسی می‌کرد و عمدتاً در جنوب آسیا کاربرد داشت. در بررسی دیگر در جنوب پرتغال Elsa MOREIRA (۲۰۰۸) از مدل لگاریتم خطی حاصل از شاخص دهک‌ها و SPI جهت پیش‌بینی شدت خشکسالی استفاده نمودند. به جز تعداد اندکی از پیشگویی‌ها، بقیه نتایج خوبی را برای اعلام خطر دوره‌های کوتاه مدت خشکسالی نشان داد. S.khan و همکارانش (۲۰۰۸) در تحقیقی در استرالیا بعداز بررسی شاخص خشکسالی توزیع استاندارد در سال‌های ۲۰۰۶-۲۰۰۸ نقش مهم بهمود مدیریت منابع آب را برای جلوگیری از خشکسالی شدید پیشنهاد دادند و اختلاف بین سال‌های خشک و Z منفی همراه با سطح بالای آب زیرزمینی را به امر فوق نسبت دادند. در ایران نیز تحقیقاتی در این خصوص انجام پذیرفته است. سعید مرید و همکارانش (۲۰۰۶) به مقایسه ۷ فاکتور خشکسالی، در استان تهران طبقه ۳۲ ساله آماری پرداختند. نتایج نشان داد که SPI, CZI

Z-Score به لحاظ توجه به معیارهای خشکسالی و واکنش آهسته به حملات خشکسالی یکسان می‌باشدند. Deciles index (DI) شدیداً تحت تاثیر میزان بارش است. DI و SPI قادرند که حملات خشکسالی را در شرایط دمایی گوناگون پیدا کنند. لذا این دو برای مونیتور عملکرد خشکسالی پیشنهاد شدند. تائب رضایی و همکارانش (۲۰۰۸) خشکسالی را در غرب ایران بررسی نمودند. داده‌های حاصل از SPI ۱۲ ماهه در دوره آماری ۱۹۴۸-۲۰۰۷ دو منطقه مختلف آب و هوایی را در این منطقه نشان داد. در تحقیقی دیگر در مرکز ایران، اصفهان، محمد کارآموز و همکارانش (۲۰۰۴) مطالعات جامعی را در خصوص داده‌های آب و هواشناسی نظیر مقدار بارش، دما و جریان آب انجام دادند. از آنالیز پارامترها برای بررسی خشکسالی و شدت و مدت آن استفاده گردید و به روش‌های مختلف با هم مقایسه شد. نتایج نشان داد که روش‌های برنامه‌ریزی شده در مناطق خشک و نیمه خشک به منظور مدیریت مصرف و نگهداری آب بسیار حائز اهمیت است. کیومرث زرافشانی و همکارانش (۲۰۰۷) در بررسی میزان تبخیر و تعرق و شاخص در جنوب غرب ایران، فارس، به راهکارهایی برای رفع بحران کشاورزی و تنش واردہ بر کشاورزان در دوره‌های خشک می‌پردازند.

ایران بدلیل برخورداری از شرایط ویژه جغرافیایی، اقلیمی از مناطق مستعد بروز خشکسالی است. این در حالی است که ایران با متوسط بارندگی ۲۵۰ میلی‌متر، سالانه تقریباً ۲۵٪ متوسط بارندگی جهان را دارد و به خاطر قرار گرفتن در منطقه خشک و نیمه خشک حدود ۴ برابر تبخیر و تعرق پتانسیل متوسط جهانی را دارا است. گیلان به خصوص در منطقه جلگه‌ای تقریباً هم طراز با استان‌های گلستان و مازندران توانسته از اقلیم خشک و رهایی‌یافته نیمه‌خشک، کمبود دائمی آب را هموار نماید، ولی خشکسالی، پدیده تکرار شونده تمامی اقالیم با اقلیم گیلان نیز همراه می‌باشد. امروزه بدلیل افزایش جمعیت و تغییر الگوی مصرف، نسبت به گذشته در کنار افزایش دمای کره زمین، خشکسالی در آن با شدت بیشتر نمایان شده است. این پژوهش با هدف آزمون مدل‌های مختلف مبتنی بر بارش برای شناخت و طبقه‌بندی خشکسالی در نوار شمالی ایران و تعیین ویژگی‌های آماری آن‌ها و بررسی تغییرات اقلیم و روند بارندگی در منطقه انجام گرفته است.

مواد و روش‌ها ویژگی‌های منطقه تحقیق

منطقه گیلان در شمال ایران بین ۳۰° و ۳۶° عرض شمالی واقع گردیده است. مساحت استان ۱۳۸۱/۵ کیلومتر مربع است و به لحاظ میزان بارش سالانه در ایران بر طبق آمار اداره هواشناسی در رتبه اول قرار دارد. با توجه به آمار سی ساله (۱۹۷۶-۲۰۰۵) میانگین بارش از طریق روش تیسن ۱۰۷۰ میلی‌متر بدست آمد. میانگین بارش منطقه طی دوره ۳۰

ساله در ایستگاههای آستارا ۱۳۹۳ میلی متر، انزلی ۱۷۴۵ میلی متر، لاهیجان ۱۴۹۱ میلی متر، رشت ۱۳۶۹ میلی متر، سراوان ۱۲۲۰ میلی متر می باشد. درصد بارندگی ها در فصل بهار ۱۵ درصد، تابستان ۲۲ درصد، پاییز ۳۹ درصد و زمستان ۲۴ درصد است. منطقه جنوبی گیلان شامل روبار، منجیل، دارای آب و هوایی متفاوت با دیگر نقاط استان می باشد و از نظر الگوهای بهدست آمده همچون میانگین بارش تفاوت شدیدی بین این منطقه با دیگر نقاط وجود دارد. اساس و پایه تحلیل های بارش بر مبنای به کارگیری آثارهای بارش روزانه، ماهانه و سالانه است. به این منظور ابتدا داده های بارش ایستگاه ها از اداره هواشناسی طی دوره ۳۰ ساله از سال ۱۹۷۶ تا ۲۰۰۵ تهیه شد. سپس این اعداد خام بازبینی و مورد تحلیل قرار گرفت و ۱۳ ایستگاه با اعداد صحیح تر و دوره آماری طولانی تر انتخاب شد. با استفاده از نرم افزار مینی تب آمار بارش همگنسازی انجام شد. سپس خشکسالی استان به کمک دو شاخص استاندارد و دهکها مورد ارزیابی و پایش قرار گرفته است. جدول ۱ موقعیت جغرافیایی ایستگاه ها و جدول ۲ ملاک های آماری ۱۳ ایستگاه هواشناسی منطقه مورد مطالعه را نشان می دهد. با توجه به جدول، بیشترین متوسط بارش ۳۰ ساله مربوط به انزلی و کمترین مربوط به منجیل است. انحراف معیار و واریانس با افزایش میزان بارش افزایش می یابد. بر عکس ضریب تغییرات در ایستگاه هایی که بارش کمتری دارند بیشتر است. این ضریب معمولاً برای تغییرات بارش به کار می رود و از تقسیم انحراف معیار بر میانگین بارش بهدست می آید. همچنین چولگی در ایستگاه هایی که میانگین بارش بیشتری دارند کوچک تر است. این پارامتر توزیع رژیم بارش را نشان می دهد که هر چه کوچک تر باشد رژیم بارش از توزیع یکنواخت تری برخوردار است. از بررسی های منطقه که بیانگر شدت و ضعف میزان دریافت بارش در ایستگاه های منطقه است، مشخص می شود که نمی توان روند مشخصی را طی دوره مورد مطالعه یافت. نکته حائز اهمیت وجود تفاوت های منطقه ای است که از نظر خشکسالی منطقه قابل ملاحظه است. دلیل این امر را می توان در وسعت منطقه مورد مطالعه و تنوع توپوگرافی نقاط مختلف استان جستجو کرد.



شکل ۱- موقعیت جغرافیایی ایستگاه‌های استان گیلان

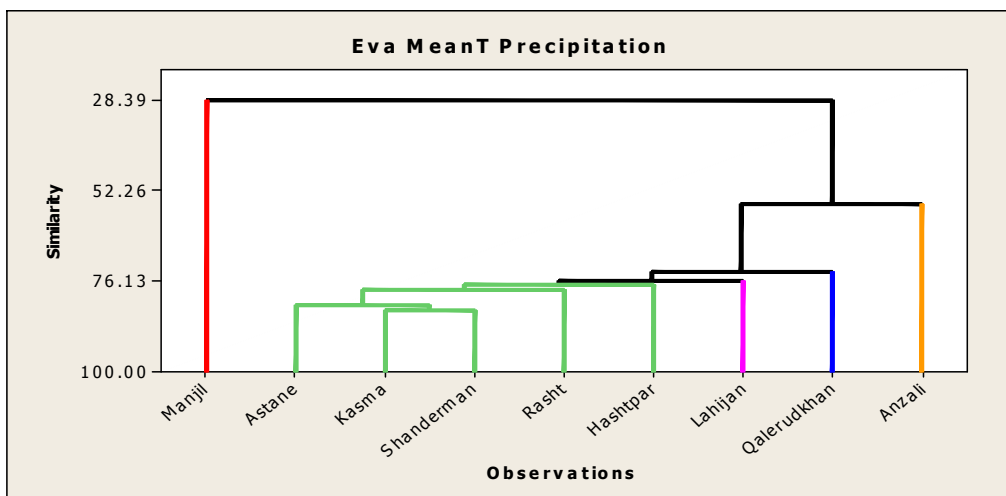
جدول ۱- موقعیت جغرافیایی ایستگاه‌ها

| نام ایستگاه | طول جغرافیایی | عرض جغرافیایی | ارتفاع | میانگین بارش |
|-------------|---------------|---------------|--------|--------------|
| ازلی | ۴۹/۲۶ | ۳۷/۲۸ | -۲۶/۸ | ۱۷۴۵/۴ |
| رشت | ۴۹/۳۶ | ۳۷/۱۹ | -۸/۶ | ۱۳۶۵/۴۵ |
| آستانه | ۴۹/۵۵ | ۳۷/۱۵ | -۵ | ۱۲۴۱/۸ |
| لاهیجان | ۵۰ | ۳۷/۱۲ | ۳۴/۲ | ۱۰۴۹/۱ |
| شلمان | ۵۰/۶ | ۳۷/۳ | ۱۵۰ | ۱۱۶۳ |
| سموش | ۵۰/۱۷ | ۳۷ | ۸۰ | ۱۳۳۰ |
| سرavan | ۴۹/۳۸ | ۳۷/۱ | ۱۸۵ | ۱۲۴۶ |
| قلعه رودخان | ۴۹/۱۶ | ۳۷/۰۶ | ۱۷۰ | ۱۶۸۳/۹ |
| کسما | ۴۹/۱۸ | ۳۷/۱۹ | -۲ | ۱۰۷۰ |
| شاندزمن | ۴۹/۰۹ | ۳۷/۲۷ | ۴۲ | ۹۷۴ |
| هشتپر | ۴۸/۵۴ | ۳۷/۴۸ | ۹۹ | ۳۱۰۰ |
| آستارا | ۴۸/۵ | ۳۸/۲۱ | -۲۱/۲ | ۱۳۹۶/۹ |

در نتایج حاصل از جدول، رودبار، منجیل، شامل آب و هوایی متفاوت با دیگر نقاط استان می‌باشد و از نظر الگوهای به دست آمده همچون میانگین بارش تفاوت شدید اقلیمی با دیگر نقاط دارد. لذا در بررسی اقلیم استان گیلان منجیل به شکل جداگانه بررسی می‌شود. این موضوع از روش تیسن کاملاً مشخص می‌گردد. شاخه بندی ایستگاه‌ها بر اساس عناصر آب و هوایی (روش Cluster):

در این شاخه بندی، ایستگاه‌ها بر اساس نوع عناصر آب و هوایی طبقه‌بندی شده است. در این شاخه‌بندی‌ها از عناصر رطوب، درجه حرارت و باران و در برخی دیگر درجه حرارت و باران و یا تبخیر، درجه حرارت و باران و نیز گاه حداکثر و حداقل درجه حرارت و باران استفاده شده است.

در این پژوهش با توجه به تعدد ایستگاه‌ها و نیز مطالعه آسان‌تر و به‌دست‌آوردن نتایج مناسب در یک منطقه وسیع با پارامترهای اقلیمی فراوان، از روش خوش‌بندی استفاده شده است. به این منظور با استفاده از نرم‌افزار Minitab و همه عناصر آب و هوایی، شامل حداکثر، حداقل و متوسط دما، بارش، تبخیر و نم نسبی، ۵ ایستگاه شامل ارزلی، قلعه رودخان، لاهیجان، رشت و منجیل برای ۱۳ ایستگاه به‌دست آمد. شکل ۲ شاخه‌بندی با کمک تمام عناصر آب و هوایی به روش Cluster با کمک نرم‌افزار Minitab را نشان می‌دهد.



شکل ۲- شاخه‌بندی با کمک تمام عناصر آب و هوایی به روش Cluster با کمک نرم‌افزار Minitab

جدول ۲- ملاک‌های آماری ۱۳۱۰ یستگاه هواشناسی منطقه (۲۰۰۵ - ۱۹۷۶).

| نام | متوسط | حداقل | حداکثر | انحراف معیار | واریانس | چولگی | ضریب تغییرات |
|-------------|--------|--------|--------|--------------|---------|-------|--------------|
| آستارا | ۱۴۹۳ | ۱۰۴۰ | ۱۹۳۰ | ۲۱۷/۸ | ۴۷۴۴۶ | ۰/۸۲ | ۳۴/۰۴ |
| انزلی | ۱۷۴۵/۵ | ۱۲۳۷/۸ | ۲۶۶۲/۱ | ۲۸۱/۷ | ۷۹۳۸۲ | ۱/۰۲ | ۴۵/۴۸ |
| هشتپر | ۱۱۰۰/۳ | ۸۱۳/۹ | ۱۵۷۳/۸ | ۱۹۳/۳ | ۳۷۳۷۳ | ۰/۸ | ۳۲/۹۷ |
| شاندرمن | ۹۷۴/۶ | ۷۵۱/۵ | ۱۳۷۵/۷ | ۱۵۷/۲ | ۲۴۶۹۸ | ۱/۲ | ۲۵/۳۴ |
| قلعه‌رودخان | ۱۹۸۳/۹ | ۱۲۲۳ | ۲۵۳۴/۵ | ۲۷۲/۹ | ۷۴۵۱۷ | ۱/۳۳ | ۴۴/۲۵ |
| کسمما | ۱۰۷۰/۸ | ۷۷۴/۵ | ۱۵۶۴ | ۱۸۱/۱ | ۳۲۷۸۵ | ۱/۰۵ | ۳۰/۶۲ |
| سرابان | ۱۲۲۰/۷ | ۸۲۰ | ۱۶۹۹/۱ | ۱۹۹/۵ | ۳۸۰۴۱ | ۰/۱۳ | ۳۱/۱۶ |
| رشت | ۱۳۶۹/۵ | ۹۸۸/۴ | ۱۹۳۷/۲ | ۲۴۵/۸ | ۶۰۴۰۷ | ۰/۵۹ | ۴۴/۱۱ |
| آستانه | ۱۲۴۱/۸ | ۸۵۷/۵ | ۱۶۸۷/۲ | ۲۰۰/۵ | ۴۲۸۶۷ | ۰/۱۹ | ۳۴۱۵۲ |
| لاهیجان | ۱۴۹۱/۲ | ۱۰۴۱/۵ | ۲۲۳۶ | ۲۷۰/۳ | ۷۳۰۶۳ | ۱/۱۳ | ۴۸/۹۹ |
| شلمان | ۱۱۶۳/۵ | ۷۲۴ | ۱۶۰۳ | ۲۰۸/۵ | ۴۳۴۸۷ | -۰/۰۲ | ۳۷/۳۸ |
| سموش | ۱۳۳۰/۹ | ۱۰۲۷/۵ | ۲۰۱۰ | ۲۳۱/۱۴ | ۵۳۴۳۰ | ۱/۰۶ | ۴۰/۱۴ |
| منجیل | ۲۶۴/۱ | ۸۷/۲ | ۴۰۲/۵ | ۷۸/۶ | ۶۱۷۸ | -۰/۳۸ | ۲۳/۴ |

شاخص‌های خشکسالی

خشکسالی با دیگر پدیده‌های هواشناسی از نظر جنبه‌های هواشناسی متفاوت است. اغلب شروع و پایان خشکسالی مهم بوده، تداوم آن می‌تواند نسبتاً طولانی باشد. از آنجا که تعریف، آشکارسازی و اندازه‌گیری خشکسالی بسیار پیچیده است، محققان در پی تدوین و تهیه شاخص‌هایی بهمنظور تعیین این موارد بوده‌اند. هدف از تهیه و کاربرد هر شاخص خشکسالی شدت، تداوم و گستردگی مکانی می‌باشد. برای پایش وضعیت خشکسالی شاخص‌های متعددی در کشورهای مختلف مورد استفاده قرار می‌گیرد، این شاخص‌ها بر اساس تعاریف خشکسالی و با روش محاسبه‌ای که در آن از یک یا چند متغیر هواشناسی استفاده شده است، بدست می‌آید.

شاخص دهک‌ها

از روش دهک‌ها به عنوان یک شاخص هواشناسی برای پایش خشکسالی گیبس و ماهر (۱۹۶۷) در استرالیا انتخاب نمود و از آن استفاده کردند. در این روش مقادیر توزیع بارش به وقوع پیوسته از کوچک‌ترین تا بزرگ‌ترین مقدار مرتب شده در ۱ دوره طولانی به ۱۰ بخش تقسیم می‌شود. هر یک از این بخش‌ها یک دهک نامیده می‌شود. دهک اول معرف مقدار بارشی است که از ۱۰ درصد بارش کمتر باشد.

دھک پنجم یا میانه مقدار بارشی است که از ۵۰ درصد بارش‌ها تجاوز نمی‌کند. جدول ۳ طبقه‌بندی شدت خشکسالی را بر اساس این شاخص نشان داده است^(۶).

جدول ۳- طبقه‌بندی خشکسالی، براساس شاخص دهک‌ها.

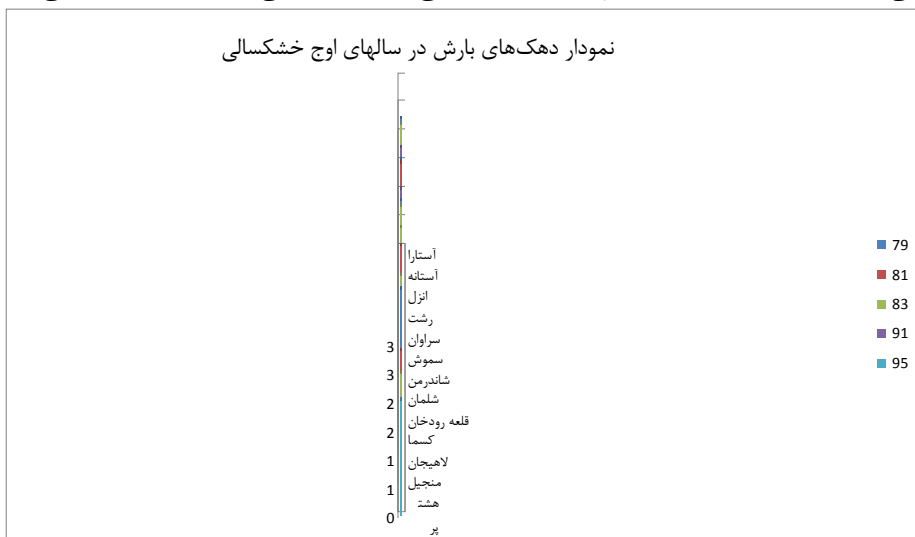
| طبقه‌بندی دهک‌ها | توصیف و ضعیت |
|------------------|--------------|
| خشکسالی شدید | ۲-۱ دهک |
| خشکسالی متوسط | ۳-۴ دهک |
| خشکسالی نرمال | ۵-۶ دهک |
| ترسالی متوسط | ۷-۸ دهک |
| ترسالی شدید | ۹-۱۰ دهک |

جدول ۴- دهک‌های ۱ تا ۳ بارندگی سالانه استان گیلان:

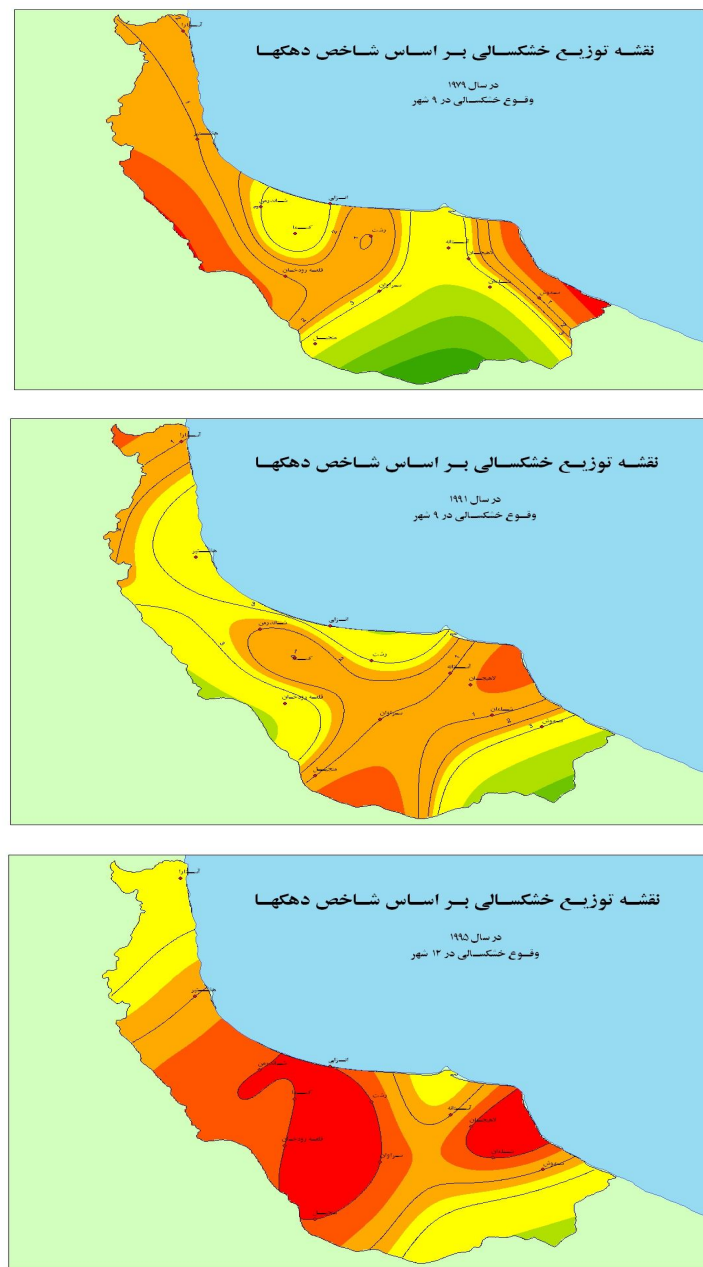
ادامه جدول ۴-

| ایستگاه | سال | آستانه |
|---------|------|--------|--------|--------|--------|--------|--------|--------|--------|--------|--------|--------|--------|--------|--------|
| | ۱۹۹۴ | ۳ | ۱ | ۱ | | | | | | | | | | | |
| | ۱۹۹۵ | ۲ | ۱ | ۲ | ۱ | ۱ | ۱ | ۱ | ۱ | ۱ | ۲ | ۱ | | | |
| | ۱۹۹۶ | ۲ | ۳ | | | ۱ | | | ۲ | | | ۲ | | | |
| | ۱۹۹۷ | | | | ۳ | | | | ۲ | | | | | | |
| | ۱۹۹۸ | | | | | ۳ | ۲ | ۳ | | | | ۳ | | | |
| | ۱۹۹۹ | ۳ | | | | | ۱ | | ۱ | ۲ | ۱ | ۲ | | | |
| | ۲۰۰۰ | | | | | | | | | ۳ | ۳ | | | | |
| | ۲۰۰۱ | | | | | ۲ | | ۳ | | ۲ | | | | | |
| | ۲۰۰۲ | ۳ | ۱ | | | ۲ | ۲ | | | ۲ | | ۳ | | | |
| | ۲۰۰۳ | | | | | | | | | | | | | | |
| | ۲۰۰۴ | | | | | | | | | | | | | | |
| | ۲۰۰۵ | | | | ۱ | ۳ | ۲ | ۳ | | ۲ | ۳ | | | | |

به کمک روش فوق و بر اساس نتایج به دست آمده از تحلیل دهکهای ۱ تا ۳، سال‌های ۱۹۷۹ و ۱۹۸۱ و ۱۹۸۳ و ۱۹۹۱ و ۱۹۹۵ در گیر خشکسالی بسیار شدید بوده است. جدول ۳ دهکهای ۱ تا ۳ بارندگی سالانه استان گیلان و شکل ۱ پهنگندی خشکسالی‌های شدید را طی سال‌های فوق نشان می‌دهد.



شکل ۳- دهکهای بارش در سالهای اوج خشکسالی.



شکل ۴- نقشه‌های توزیع خشکسالی بر اساس شاخص دهک‌ها در سال‌های ۱۹۷۹، ۱۹۹۱ و ۱۹۹۵

بر اساس نتایج بدست آمده از جدول ۴ و تحلیل دهکه‌های ۱ تا ۳، سال‌های ۱۹۷۹ و ۱۹۸۱ و ۱۹۸۳ و ۱۹۹۱ و ۱۹۹۵ درگیر خشکسالی بسیار شدید بوده است. شکل ۳ دهکه‌های بارش در سال‌های اوج خشکسالی و شکل ۴ پهنه‌بندی خشکسالی‌های شدید را طی سال‌های فوق نشان می‌دهد. آنچه از جدول و شکل‌های فوق بر می‌آید، تعداد سال‌های خشکسالی در همه ایستگاه‌ها تقریباً برابر می‌باشد. هرچند که در هر سال قسمتی از استان را در بر می‌گیرد. به عبارتی خشکسالی به طور یکنواخت در سطح استان گسترده شده است. باید یادآور شد که در اکثر سال‌ها بخش میانی و سپس غربی استان با این بلای طبیعی درگیر بوده است. که آن را می‌توان به طرز نفوذ سیستم‌ها به منطقه نسبت داد که همواره بارش کمتری را در این نقاط ایجاد می‌کنند. در سال ۱۹۹۵ تقریباً تمام استان درگیر خشکسالی شده است. نقشه توزیع خشکسالی نیز در سال ۱۹۹۵ دقیقاً این مطلب را بیان می‌دارد.

شاخص توزیع استاندارد

شاخص توزیع استاندارد از شاخص‌های مهم جهانی به شمار می‌رود که احتمال وقوع خشکسالی را معین می‌نماید. در واقع این روش با توجه به بررسی تأثیرات متفاوت کمود بارش بر روی آب‌های زیرزمینی، ذخائر و منابع آب سطحی، رطوبت خاک، جریان آبراهه و... ارایه شده است. این شاخص از طریق رابطه زیر محاسبه می‌گردد. در این رابطه Z شاخص استاندارد شده بارش متوسط یک دوره معین (سال)، متوسط دراز مدت بارش و SD انحراف معیار داده‌هاست. میانگین و انحراف معیار این عامل برابر صفر و یک است. یک حادثه خشکسالی هر زمان که شاخص استاندارد به طور مداوم منفی باشد و شدت آن به ارقام ۱ - یا کمتر بررسد، اتفاق می‌افتد، این حادثه زمانی که شاخص استاندارد به مقادیر مثبت بر می‌گردد تمام می‌شود. با توجه به ارزش حاصل از این شاخص شدت وقوع خشکسالی به صورت جدول زیر طبقه‌بندی شده است.

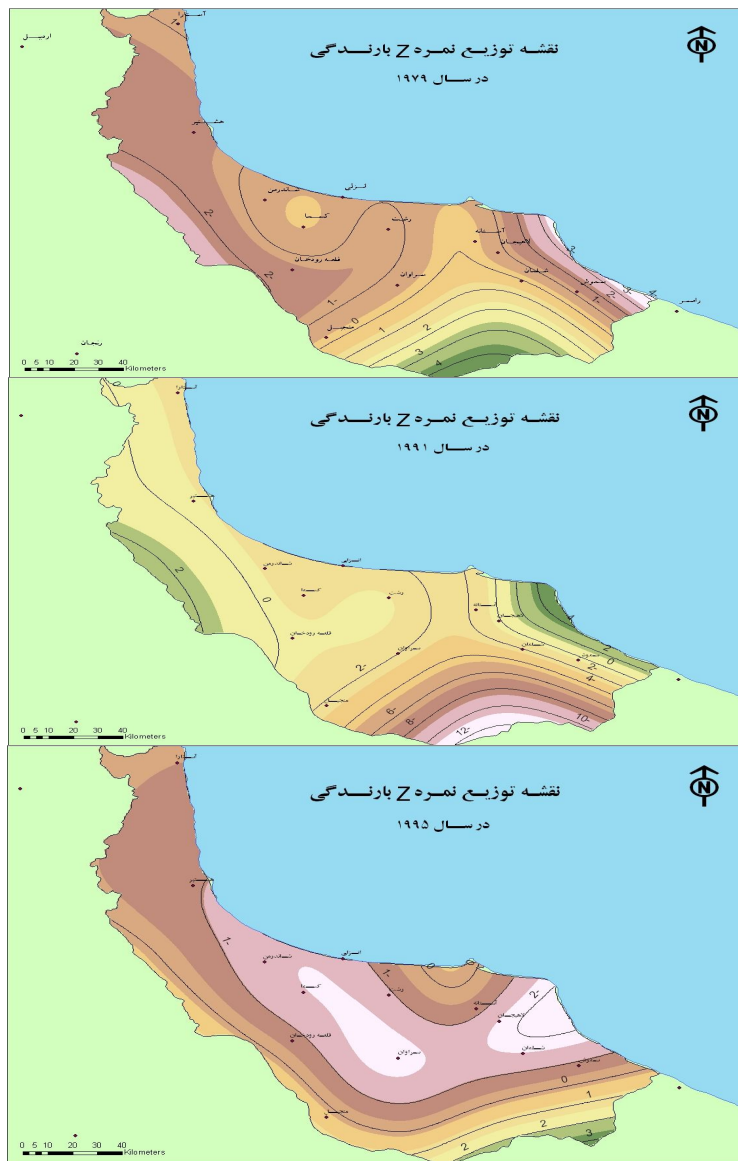
جدول ۵- طبقه‌بندی شاخص خشکسالی توزیع استاندارد

| درجه خشکسالی | مقادیر Z |
|--------------------|--------------|
| خشکسالی ضعیف | ۰ - تا ۱ |
| خشکسالی متوسط | -۱،۵ - تا ۱ |
| خشکسالی شدید | -۲ - تا -۱،۵ |
| خشکسالی بسیار شدید | <-۲ |

بررسی این شاخص در استان گیلان نتایج جالبی را به دست داده است. جدول شماره ۶ مقادیر Z حاصله را در ۱۳ ایستگاه و شکل ۲ نقشه توزیع نمره Z بارندگی را در سال‌های ۱۹۷۹، ۱۹۹۱ و ۱۹۹۵ و در طی ۳۰ سال نشان می‌دهد. با توجه به جدول و شکل زیر هر چند که استان گیلان جزو مناطق پر بارش به حساب می‌آید، خشکسالی در آن دور از انتظار نیست.

جدول ۶- مقادیر Z در ۱۳ ایستگاه و طی دوره آماری ۳۰ ساله

| Z>+ | -Z< | -2>Z>-1.0 | -1.0>Z>-1 | -1>Z>+ | درصد سطح خشکسالی | سال | | | | | |
|-----|-------|-----------|-----------|--------|---------------------|-----|------|------|------|------|------|
| % | km | % | km | % | km | | | | | | |
| ۳۴ | ۴۷۲۴ | ۱۵ | ۲۰۴۸ | ۸ | ۱۰۹۳ | ۱۰ | ۱۳۳۵ | ۳۳ | ۴۶۱۸ | ۶۶ | ۱۹۷۶ |
| ۶۶ | ۹۱۴۲ | ۴ | ۴۸۳ | ۹ | ۱۲۹۲ | ۱۰ | ۱۴۳۴ | ۱۰ | ۱۴۳۶ | ۲۴ | ۱۹۷۷ |
| ۲۲ | ۳۰۷۳ | ۵ | ۶۴۶ | ۱۲ | ۱۶۴۶ | ۱۱ | ۱۴۹۰ | ۵۰ | ۶۹۷۲ | ۷۸ | ۱۹۷۸ |
| ۲۶ | ۳۵۲۳ | ۱۰ | ۱۴۲۸ | ۱۶ | ۲۲۳۶ | ۲۲ | ۳۱۰۹ | ۲۵ | ۳۵۰۳ | ۷۴ | ۱۹۷۹ |
| ۷۴ | ۱۰۲۸۱ | ۵ | ۶۵۹ | ۱ | ۲۰۳ | ۲ | ۲۳۴ | ۱۷ | ۲۳۳۹ | ۲۶ | ۱۹۸۰ |
| ۲۵ | ۳۵۲۰ | ۰ | ۰ | ۱۰ | ۱۳۳۵ | ۱۸ | ۲۴۲۳ | ۴۷ | ۶۵۳۹ | ۷۵ | ۱۹۸۱ |
| ۸۹ | ۱۲۲۶۴ | ۱ | ۱۲۶ | ۱ | ۱۳۷ | ۲ | ۲۱۳ | ۸ | ۱۰۷۵ | ۱۱ | ۱۹۸۲ |
| ۲۳ | ۳۲۱۴ | ۲ | ۲۱۱ | ۸ | ۱۱۴۳ | ۱۸ | ۲۵۵۵ | ۴۸ | ۶۶۹۸ | ۷۷ | ۱۹۸۳ |
| ۴۳ | ۵۹۶۱ | ۰ | ۰ | ۰ | ۵۴ | ۳ | ۴۱۱ | ۵۴ | ۷۳۹۶ | ۵۷ | ۱۹۸۴ |
| ۵۳ | ۷۲۹۸ | ۱۳ | ۱۷۹۸ | ۷ | ۹۰۰ | ۸ | ۱۱۱۶ | ۱۹ | ۲۶۸۸ | ۴۷ | ۱۹۸۵ |
| ۴۶ | ۶۲۹۸ | ۳ | ۴۴۸ | ۵ | ۶۹۱ | ۷ | ۱۰۰۷ | ۳۹ | ۵۳۷۲ | ۵۴ | ۱۹۸۶ |
| ۶۱ | ۸۴۰۲ | ۳ | ۴۴۳ | ۱ | ۱۵۷ | ۴ | ۵۰۶ | ۳۱ | ۴۲۱۱ | ۳۹ | ۱۹۸۷ |
| ۳۱ | ۴۲۴۹ | ۰ | ۰ | ۰ | ۰ | ۰ | ۶۹ | ۹۵۶۱ | ۶۹ | ۱۹۸۸ | |
| ۲۷ | ۳۶۹۱ | ۱۷ | ۲۲۸۴ | ۷ | ۹۱۶ | ۱۸ | ۲۵۱۵ | ۳۲ | ۴۴۱۰ | ۷۳ | ۱۹۸۹ |
| ۵۸ | ۷۹۵۱ | ۱۰ | ۱۲۴۲ | ۳ | ۴۶۲ | ۴ | ۵۴۰ | ۲۵ | ۳۵۲۳ | ۴۲ | ۱۹۹۰ |
| ۱۰ | ۱۰۴۳ | ۳۳ | ۳۴۸۳ | ۱۲ | ۱۲۹۲ | ۱۳ | ۱۴۳۵ | ۳۲ | ۳۴۳۶ | ۹۰ | ۱۹۹۱ |
| ۱۰۰ | ۱۳۸۱۸ | ۰ | ۰ | ۰ | ۰ | ۰ | ۰ | ۰ | ۰ | ۰ | ۱۹۹۲ |
| ۸۰ | ۱۱۰۶۳ | ۱۱ | ۱۵۲۲ | ۲ | ۲۲۱ | ۲ | ۲۳۴ | ۶ | ۷۷۲ | ۲۰ | ۱۹۹۳ |
| ۴۴ | ۶۰۹۰ | ۰ | ۰ | ۵ | ۶۲۶ | ۹ | ۱۲۶۹ | ۴۲ | ۵۸۳۵ | ۵۶ | ۱۹۹۴ |
| ۱۳ | ۱۷۳۸ | ۵ | ۶۶۴ | ۲۴ | ۳۲۶۷ | ۲۹ | ۴۰۲۳ | ۲۹ | ۴۰۱۲ | ۸۷ | ۱۹۹۵ |
| ۳۱ | ۴۱۷۱ | ۲۶ | ۳۴۸۴ | ۱۰ | ۱۲۹۲ | ۸ | ۱۱۴۴ | ۲۵ | ۳۴۳۶ | ۶۹ | ۱۹۹۶ |
| ۴۸ | ۶۶۵۶ | ۵ | ۶۳۱ | ۵ | ۶۸۴ | ۸ | ۱۱۲۹ | ۳۴ | ۴۷۱۵ | ۵۲ | ۱۹۹۷ |
| ۵۹ | ۸۴۳۷ | ۷ | ۹۷۹ | ۷ | ۹۸۸ | ۵ | ۷۴۹ | ۲۲ | ۳۰۶۱ | ۴۱ | ۱۹۹۸ |
| ۱۸ | ۲۴۹۴ | ۱۵ | ۲۰۹۵ | ۱۲ | ۱۶۴۰ | ۱۳ | ۱۷۴۸ | ۴۲ | ۵۸۴۴ | ۸۲ | ۱۹۹۹ |
| ۵۰ | ۶۸۹۳ | ۰ | ۰ | ۳ | ۴۶۳ | ۵ | ۷۳۴ | ۴۱ | ۵۷۲۱ | ۵۰ | ۲۰۰۰ |
| ۲۷ | ۳۸۹۶ | ۰ | ۰ | ۳ | ۴۰۷ | ۱۰ | ۱۴۷۴ | ۵۹ | ۸۴۰۰ | ۷۳ | ۲۰۰۱ |
| ۳۶ | ۵۰۳۲ | ۰ | ۰ | ۰ | ۰ | ۳ | ۴۲۶ | ۶۰ | ۸۳۵۹ | ۶۴ | ۲۰۰۲ |
| ۵۱ | ۶۸۶۴ | ۱ | ۱۹۱ | ۱ | ۱۵۲ | ۲ | ۲۸۹ | ۴۴ | ۶۰۰۲ | ۴۹ | ۲۰۰۳ |
| ۹۱ | ۱۲۵۸۴ | ۰ | ۰ | ۰ | ۰ | ۰ | ۹ | ۱۲۳۰ | ۹ | ۲۰۰۴ | |
| ۳۹ | ۵۱۵۶ | ۱۵ | ۱۹۷۱ | ۸ | ۱۰۰۳ | ۸ | ۱۰۷۴ | ۳۰ | ۳۹۸۴ | ۶۱ | ۲۰۰۵ |



شکل ۵- نقشه توزیع نمره Z بارندگی در سال های ۱۹۷۹، ۱۹۹۱ و ۱۹۹۵.

نتایج حاصل از شاخص استاندارد نشان می دهد در طی سی سال مورد بررسی بیست و نه سال یا به عبارتی ۹۷٪ از کل دوره، منطقه با خشکسالی مواجه بوده است. با بررسی جدول ۶ دوره آماری را به لحاظ وقوع پدیدهای خشکسالی به ۲ گروه می توان تقسیم نمود.

۱- خشکسالی نقطه‌ای (حوزه ناحیه‌ای)

۲- فقدان خشکسالی.

گروه ۱ را که شامل ۲۹ سال از ۳۰ سال مورد بررسی می‌باشد، می‌توان به ۳ دسته تقسیم نمود:

الف- سال‌هایی که بیش از ۷۰ درصد از سطح استان درگیر خشکسالی بوده‌اند.

ب- سال‌هایی که کمتر از ۲۰ درصد از سطح استان درگیر خشکسالی بوده‌اند.

ج- سال‌هایی که بین ۲۰ تا ۷۰ درصد درگیر خشکسالی بوده‌اند.

در گروه الف، ۹ سال یا به عبارتی ۳۰ درصد از کل دوره در گروه ب، ۲ سال یا ۷ درصد از کل دوره در گروه ج، ۱۸ سال یا ۶۰ درصد از کل دوره قرار گرفته‌اند. تنها در سال ۱۹۹۲ درست بعد از سال ۱۹۹۱ که شدیدترین خشکسالی در منطقه تجربه شد، با تر سالی مواجه بوده‌ایم. اکثر سطوح درگیر خشکسالی در محدوده خشکسالی ضعیف، بین $1 < z < 20$ قرار داشتند و بخش میانی استان خشکسالی بیشتری را نسبت به دیگر نقاط تجربه نموده است. طی دوره آماری مورد بررسی ۱۹ سال درصد بالای ۵۰ درصد از سطح استان درگیر خشکسالی بوده است. این میزان ۶۳ درصد از کل دوره را شامل می‌شود. سال ۱۹۹۲ تنها سالی است که خشکسالی مشاهده نشده است. سال ۱۹۹۱ نیز میزان درگیری با این بلای طبیعی در حداکثر میزان خود بوده است. نقشه‌های پنهانه بندی که مربوط به سال‌های ۹۱ و ۹۵ و ۷۹ (شکل ۵) می‌باشد، سال‌هایی را نشان می‌دهد که مساحت بالای ۷۰٪ با خشکسالی درگیر بوده‌اند. بر اساس شدت خشکسالی رنگ‌ها تیره‌تر شده و شدت خشکسالی را نشان می‌دهد.

بحث و نتیجه‌گیری

با توجه به جدول ۱ بیشترین بارش متوسط سالانه مربوط به ازولی با ۱۷۴۵ میلی‌متر و کمترین آن مربوط به منجیل با ۲۶۴ میلی‌متر می‌باشد. انحراف معیار، واریانس و ضریب تغییرات با افزایش میزان بارش افزایش می‌یابد. همچنین چوکگی در ایستگاه‌هایی که میانگین بارش بیشتری دارند، کوچک‌تر است. این پارامتر توزیع رژیم بارش را نشان می‌دهد که هر چه کوچک‌تر باشد رژیم بارش از توزیع یکنواخت‌تری برخوردار است. دو روش مورد بررسی شدیدترین خشکسالی را در سال‌های ۱۹۹۱، ۱۹۹۵ و ۱۹۷۹ نشان دادند. شکل ۴ و ۵ مطلب فوق را تایید می‌کند. بررسی نقشه‌های خشکسالی نیز نتایج جالبی را به دست می‌دهد. شکل‌های ۴ و ۵ نشان می‌دهد که بخش میانی استان شامل رشت، سراوان، کسمما، ازولی و شاندمن بیشترین خشکسالی و غرب استان شامل هشتپر و آستانه و در مرحله بعد سموش، شلمان و لاهیجان کمترین خشکسالی را تجربه کرده‌اند. به عبارتی این چنین بر می‌آید که در این سه سال بخش میانی استان بیشترین شدت خشکسالی را داشته است. سپس غرب و بعد آن

شرق گیلان به لحاظ شدت خشکسالی قرار گرفته‌اند. به نظر می‌رسد که کاهش حجم آب ورودی سد سفیدرود که تامین آب آشامیدنی ۸۰ درصد از استان گیلان و آب ۱۸۰ هزار هکتار از زمین‌های زراعی را به عهده دارد، به دلیل افزایش رسوبات و ساخت ۱۰ سد جدید بر روی سرشاخه‌های سفید رود عامل اصلی بحران منابع آب در بخش میانی است. لیکن نتایج حاصل از شاخص استاندارد نشان می‌دهد که وقوع خشکسالی در آن نادر و تصادفی نبوده بلکه امری معمول و بازگشت‌پذیر است. در طی ۳۰ سال مورد بررسی با استفاده از نمره Z، ۲۹ سال یا به عبارتی ۹۷٪ از کل دوره، منطقه با خشکسالی ضعیف تا شدید مواجه بوده است. با توجه به اهمیت کشاورزی در استان که در اشتغال‌زایی و در آمدزایی مردم منطقه تاثیرگذار است، بررسی میزان بارش و تعیین خشکسالی‌ها از اهمیت فوق العاده‌ای برخوردار است. به تبع آن نتایج حاصله می‌تواند برای تصمیم گیران و برنامه‌ریزان در زمینه‌های مختلف مورد استفاده قرار گیرد. بررسی نقاطی که با خشکسالی بیشتر و شدیدتر مواجه‌اند و تمرکز بیشتر در آن نقاط، مدیریت مناسب مهندسی منابع آب، کم آبیاری، استفاده از هرز آبها و اصلاح آبیاری کشاورزی و شهری، توسعه فضای سبز (جنگل) و تقویت خاک به جهت مواد معدنی و آلی (هوموس) برای حفظ و نگهداری آب موجود در خاک، همه و همه می‌تواند خسارات ناشی از خشکسالی را کاهش دهد.

منابع

- Gibbs, W.J., and Maher, J.V. 1967. *Rainfall Deciles as Drought Indicators*. Bureau of Meteorology Bulletin. No. 48, Commonwealth of Australia, Melbourne.
- Karamouz, M., Torabi, S., and Araghinejad, Sh. 2004. *Analysis of Hydrologic and Agricultural Droughts in Central Part of Iran*. 9: 402-414.
- Karamouz, M., and Araghinejad, Sh. 2005. *Advanced Hydrology*. Amir Kabir University of Technology. ISBN: 964-463-274-5: 54-60.
- Khan, S., Rana, T., and Gabriel. H., 2008. *Standard Precipitation Index to Track Drought and Assess Impact of Rainfall on Water Tables in Irrigation Areas*. jour. of Irrigation and Drainage Systems, 22: 159-177.
- Moreira, E., Coelho, C., Paulo, A., Pereira, L. and Mexia, J. 2008. *SPI-Based Drought Category Prediction Using log linear Models*. Jour. of Hydrology. 345: 116-130.
- Morid, S., Smakhtin, V., and Moghaddasi, M. 2006. *Comparison of Seven Meteorological Indices for Drought Monitoring in Iran*. 26: 971-985.
- Raziei, T., Saghafian, B., Paulo, A., Pereira, L., and Bordi, I. 2007. *Spatial Patterns and Temporal Variability of Drought in Western Iran*. 23: 439 - 455.
- Smakhtin, V.U., and Hughes, D.A. 2007. Automated estimation and analyses of meteorological drought characteristics from monthly rainfall data, jour. of Environmental Modelling & Software, 22: 880-890.

- Tsakiris, G., and tigkas, D. 2007. Drought Risk in Agriculture in Mediterranean Regions. book of Methods and Tools for Drought Analysis and Management.Pp 399-414.
- Wu, H., Hayes, M., Weiss, A., and Hu, Q. 2001. An evaluation of the Standardized Precipitation Index, the China-Z Index and the statistical Z-Score. 21:758-6745.
- Zarafshani, K., Gorgievski. M., and Zamani, Gh. 2007. A Comparison of Perceptions and Coping Strategies of Iranian Farmers from Regions with Different Drought Intensities.13: 69-80.